

---

## Rayonnement dipolaire

---

### Table des matières

<b>1</b>	<b>Rayonnement dipolaire électrique</b>	<b>2</b>
1.1	Modèle de dipôle de Hertz . . . . .	2
1.2	Champ électromagnétique rayonné par le dipôle oscillant . . . . .	3
1.2.1	Potentiel vecteur . . . . .	3
1.2.2	Potentiel scalaire . . . . .	4
1.2.3	Champ électrique . . . . .	4
1.2.4	Champ magnétique . . . . .	5
1.3	Expression du champ électromagnétique dans la zone de rayonnement . . .	5
1.3.1	Définition . . . . .	5
1.3.2	Expression du champ électromagnétique . . . . .	5
1.3.3	Aspect énergétique . . . . .	6
<b>2</b>	<b>Diffusion du rayonnement électromagnétique</b>	<b>6</b>
2.1	Phénomène de diffusion . . . . .	6
2.2	Modèle de l'électron élastiquement lié . . . . .	7
2.3	Interaction d'une onde électromagnétique monochromatique avec l'élec- tron atomique . . . . .	8

# 1 Rayonnement dipolaire électrique

## 1.1 Modèle de dipôle de Hertz

- **Modèle du dipôle de Hertz** : Le dipôle oscillant de Hertz est l'ensemble de deux charges :
  - ▶ une charge  $-q$  fixe à l'origine O d'un système d'axes orthonormés (Oxyz)
  - ▶ une charge  $+q$ , en un point P, est en mouvement de translation rectiligne sinusoïdal de pulsation  $\omega$

$$\overrightarrow{OP} = z(t) \vec{e}_z = z_0 \cos \omega t \vec{e}_z$$

- $-q$  fixe en O
- $+q$  animée d'un mouvement rectiligne sinusoïdal de pulsation  $\omega$

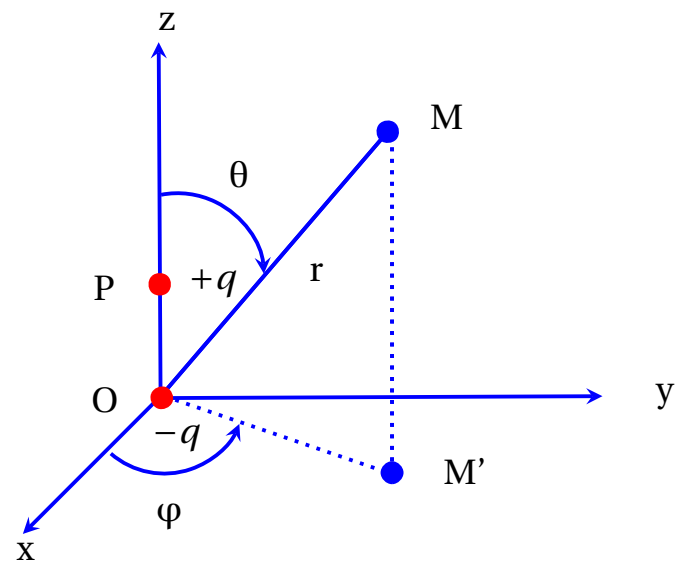
$$\overrightarrow{OP} = z(t) \vec{e}_z = z_0 \cos \omega t \vec{e}_z$$

- la vitesse de  $+q$  est

$$\vec{v}(t) = \frac{d\overrightarrow{OP}}{dt} = -z_0 \omega \sin \omega t \vec{e}_z$$

- on pose :  $v_{max} = z_0 \omega$

$$\vec{v}(t) = -v_{max} \sin \omega t \vec{e}_z$$



### ▶ Moment dipolaire $\vec{p}$

- le moment dipolaire est

$$\vec{p} = q \overrightarrow{OP}$$

- $\overrightarrow{OP} = z_0 \cos \omega t \vec{e}_z \Rightarrow \vec{p} = q z_0 \cos \omega t \vec{e}_z$
- on pose  $p_0 = q z_0$

$$\vec{p} = p_0 \cos \omega t \vec{e}_z$$

### ▶ Approximation dipolaire

- **Approximation dipolaire** : Dans l'approximation dipolaire on néglige la distance entre les deux charges devant la distance à laquelle on veut calculer le champ électromagnétique.

$$z_0 \ll OM = r$$

### ▶ Approximation non relativiste

- **Approximation non relativiste** : la vitesse maximale de déplacement de la charge  $+q$  est très inférieure à la vitesse de la lumière  $c$

$$v_{max} \ll c$$

- $v_{max} \ll c \Leftrightarrow \omega z_0 \ll c \Leftrightarrow 2\pi \frac{c}{\lambda} z_0 \ll c \Leftrightarrow z_0 \ll \lambda$  ;  $\lambda$  : longueur d'onde de l'onde rayonnée
- l'approximation non relativiste devient

$$z_0 \ll \lambda$$

• Conclusion

- ▶ Approximation dipolaire :  $z_0 \ll r$
- ▶ Approximation non relativiste :  $z_0 \ll \lambda$

## 1.2 Champ électromagnétique rayonné par le dipôle oscillant

### 1.2.1 Potentiel vecteur

- $\vec{A}(M, t) = \frac{\mu_0}{4\pi} \iiint_{(V)} \frac{\vec{j}\left(P, t - \frac{PM}{c}\right)}{PM} d\tau$
- $\vec{j}\left(P, t - \frac{PM}{c}\right) = \rho_m \vec{v}\left(P, t - \frac{PM}{c}\right)$ ;  $\rho_m$  : densité volumique des charges mobiles
- $\vec{A}(M, t) = \frac{\mu_0}{4\pi} \iiint_{(V)} \rho_m \frac{\vec{v}\left(P, t - \frac{PM}{c}\right)}{PM} d\tau = \frac{\mu_0}{4\pi} \frac{\vec{v}\left(P, t - \frac{PM}{c}\right)}{PM} \iiint_{(V)} \rho_m d\tau$

$$\vec{A}(M, t) = \frac{\mu_0}{4\pi} \frac{q \vec{v}\left(P, t - \frac{PM}{c}\right)}{PM}$$

- $PM^2 = (\vec{PO} + \vec{OM})^2$   
 $= PO^2 + OM^2 + 2\vec{PO} \cdot \vec{OM}$   
 $= z^2 + r^2 - 2rz \cos \theta$

$$PM = r \left(1 + \frac{z^2}{r^2} - \frac{2z}{r} \cos \theta\right)^{1/2}$$

- approximation dipolaire :  $z_0 \ll r \Rightarrow z \ll r$  et  $z \cos \theta \ll r$

$$\frac{1}{PM} \approx \frac{1}{r}$$

$$\vec{A}(M, t) = \frac{\mu_0 q}{4\pi} \frac{\vec{v}\left(t - \frac{r}{c}\right)}{r}$$

- $\frac{d\vec{p}\left(t - \frac{r}{c}\right)}{dt} = \frac{d}{dt} \left[ q \vec{OP}\left(t - \frac{r}{c}\right) \right] = q \vec{v}\left(t - \frac{r}{c}\right)$

$$\vec{A}(M, t) = \frac{\mu_0}{4\pi r} \frac{d\vec{p}\left(t - \frac{r}{c}\right)}{dt}$$

▶ En notation complexe

- $\underline{\vec{p}}(t) = p_0 \exp i\omega t \vec{e}_z$
- $\underline{\vec{p}}\left(t - \frac{r}{c}\right) = p_0 \exp \left[ i \left( \omega t - \omega \frac{r}{c} \right) \right] \vec{e}_z = p_0 \exp [i(\omega t - kr)] \vec{e}_z$

$$\bullet \frac{d\vec{p}\left(t - \frac{r}{c}\right)}{dt} = i\omega p_0 \exp(i\omega t) \exp(-ikr) = i\omega \underline{p}(t) \exp(-ikr) \vec{e}_z$$

$$\vec{\underline{A}}(M, t) = \frac{i\omega\mu_0}{4\pi r} \underline{p}(t) \exp(-ikr) \vec{e}_z$$

### 1.2.2 Potentiel scalaire

- la jauge de Lorentz :  $\text{div} \vec{\underline{A}}(M, t) + \frac{1}{c^2} \frac{\partial V}{\partial t} = 0$
- $\text{div}(f \vec{a}) = f \text{div} \vec{a} + \overrightarrow{\text{grad}} f \cdot \vec{a}$
- $\text{div} \vec{\underline{A}}(M, t) = \frac{i\omega\mu_0}{4\pi} \underline{p}(t) \text{div} \left( \frac{\exp(-ikr) \vec{e}_z}{r} \right)$
- $$\begin{aligned} \text{div} \left( \frac{\exp(-ikr) \vec{e}_z}{r} \right) &= \frac{\exp(-ikr)}{r} \cdot \text{div} \vec{e}_z + \overrightarrow{\text{grad}} \left( \frac{\exp(-ikr)}{r} \right) \cdot \vec{e}_z \\ &= \overrightarrow{\text{grad}} \left( \frac{\exp(-ikr)}{r} \right) \cdot \vec{e}_z \\ &= \left( -\frac{1}{r^2} - \frac{ik}{r} \right) \exp(-ikr) \vec{e}_r \cdot \vec{e}_z \\ &= -\left( \frac{1}{r^2} + \frac{ik}{r} \right) \exp(-ikr) \cos \theta \end{aligned}$$
- $\frac{1}{c^2} \frac{\partial V}{\partial t} = \frac{i\omega}{c^2} \underline{V}$

$$\underline{V}(M, t) = \frac{\underline{p}(t)}{4\pi\epsilon_0} \frac{1 + ikr}{r^2} \exp(-ikr) \cos \theta$$

• **Remarque** : en statique ( $\omega \rightarrow 0; k \rightarrow 0$ ) :  $V(M, t) = \frac{p_0}{4\pi\epsilon_0 r^2} \cos \theta$

### 1.2.3 Champ électrique

- $\vec{\underline{E}} = -\overrightarrow{\text{grad}} \underline{V}(M, t) - \frac{\partial \vec{\underline{A}}(M, t)}{\partial t}$
- $$\overrightarrow{\text{grad}} \underline{V}(M, t) = \begin{cases} \frac{\partial \underline{V}}{\partial r} \vec{e}_r \\ \frac{1}{r} \frac{\partial \underline{V}}{\partial \theta} \vec{e}_\theta \\ \frac{1}{r \sin \theta} \frac{\partial \underline{V}}{\partial \varphi} \vec{e}_\varphi \end{cases} = \begin{cases} -\frac{\underline{p}(t)}{4\pi\epsilon_0 r^3} (2 + 2ikr + (ikr)^2) \cos \theta \exp(-ikr) \vec{e}_r \\ -\frac{\underline{p}(t)}{4\pi\epsilon_0 r^3} (1 + ikr) \sin \theta \exp(-ikr) \vec{e}_\theta \\ \vec{0} \end{cases}$$
- $$\frac{\partial \vec{\underline{A}}(M, t)}{\partial t} = \begin{cases} -\frac{\underline{p}(t)k^2}{4\pi\epsilon_0 r} \cos \theta \exp(-ikr) \vec{e}_r \\ \frac{\underline{p}(t)k^2}{4\pi\epsilon_0 r} \sin \theta \exp(-ikr) \vec{e}_\theta \\ \vec{0} \end{cases}$$
- le champ électrique

$$\vec{E}(M, t) = \begin{cases} \frac{2p(t) \cos \theta}{4\pi\epsilon_0 r^3} [1 + ikr] \exp(-ikr) \vec{e}_r \\ \frac{p(t) \sin \theta}{4\pi\epsilon_0 r^3} [1 + ikr - k^2 r^2] \exp(-ikr) \vec{e}_\theta \end{cases}$$

• **Remarque** : en statique ( $\omega = 0; k = 0$ )

$$\vec{E}(M, t) = \begin{cases} \frac{2p_0 \cos \theta}{4\pi\epsilon_0 r^3} \vec{e}_r \\ \frac{p_0 \sin \theta}{4\pi\epsilon_0 r^3} \vec{e}_\theta \end{cases}$$

#### 1.2.4 Champ magnétique

- $\vec{B}(M, t) = \overrightarrow{rot} \vec{A}(M, t)$
- $\overrightarrow{rot}(f\vec{a}) = f\overrightarrow{rot}\vec{a} + \overrightarrow{grad}f \wedge \vec{a}$
- $\vec{B}(M, t) = \frac{i\mu_0\omega p(t)}{4\pi} \overrightarrow{rot} \left( \frac{\exp(-ikr)}{r} \vec{e}_z \right)$   
 $= \frac{i\mu_0\omega p(t)}{4\pi} \overrightarrow{grad} \left( \frac{\exp(-ikr)}{r} \right) \wedge \vec{e}_z$
- $\vec{e}_z = \cos \theta \vec{e}_r - \sin \theta \vec{e}_\theta$

$$\vec{B}(M, t) = \frac{i\mu_0\omega \sin \theta p(t)}{4\pi r^2} (1 + ikr) \exp(-ikr) \vec{e}_\varphi$$

### 1.3 Expression du champ électromagnétique dans la zone de rayonnement

#### 1.3.1 Définition

• **Définition** : On appelle zone de rayonnement la zone ou on peut considérer  $r \gg \lambda$

#### • Exemples

- en télécommunication :  $\lambda$  de  $1\text{cm}$  à  $1\text{m}$ , donc il suffit de prendre  $r > 1\text{km}$
- en optique : domaine visible  $0,4 \leq \lambda \leq 0,8\mu\text{m}$ , donc il suffit de prendre  $r > 1\text{cm}$

#### 1.3.2 Expression du champ électromagnétique

- $r \gg \lambda \Rightarrow kr \gg k\lambda = 2\pi \Rightarrow kr \gg 1$
- $kr \gg 1 \Rightarrow k^2 r^2 \gg kr \gg 1$
- $\vec{E}(M, t) = \begin{cases} \frac{2p(t) \cos \theta}{4\pi\epsilon_0 r^3} (ikr) \exp(-ikr) \vec{e}_r \\ \frac{p(t) \sin \theta}{4\pi\epsilon_0 r^3} (-k^2 r^2) \exp(-ikr) \vec{e}_\theta \end{cases}$
- $\frac{|\vec{E}_\theta|}{|\vec{E}_r|} = \left| \frac{\sin \theta \cdot kr}{2 \cos \theta} \right| \approx \frac{kr}{2} \gg 1 \Rightarrow E_\theta \gg E_r$

$$\vec{E}(M, t) = -\frac{p(t)k^2 \sin \theta}{4\pi\epsilon_0 r} \exp(-ikr) \vec{e}_\theta$$

- la champ magnétique

$$\vec{B}(M, t) = -\frac{\mu_0 k \omega \sin \theta p(t)}{4\pi r} \exp(-ikr) \vec{e}_\varphi$$

- le vecteur d'onde :  $\vec{k} = \frac{\omega}{c} \vec{e}_r$

$$\vec{B}(M, t) = \frac{\vec{k} \wedge \vec{E}(M, t)}{\omega}$$

• **Conclusion** : Dans la zone de rayonnement l'onde électromagnétique a une structure d'une onde plane, on dit qu'elle est **quasi-plane** où **localement plane**.

### 1.3.3 Aspect énergétique

$$\langle \vec{\pi} \rangle = \frac{1}{2} \operatorname{Re} \left[ \frac{\vec{E} \wedge \vec{B}^*}{\mu_0} \right] = \frac{\omega k^3 p_0^2 \sin^2 \theta}{32\pi^2 \epsilon_0 r^2} \vec{e}_r$$

$$\langle \vec{\pi} \rangle = \frac{\omega^4 p_0^2 \sin^2 \theta}{32\pi^2 \epsilon_0 c^3 r^2} \vec{e}_r = \langle \vec{\pi} \rangle_{\max} \sin^2 \theta$$

- la puissance moyenne rayonnée à travers une surface de rayone  $r \gg \lambda \gg z_0$

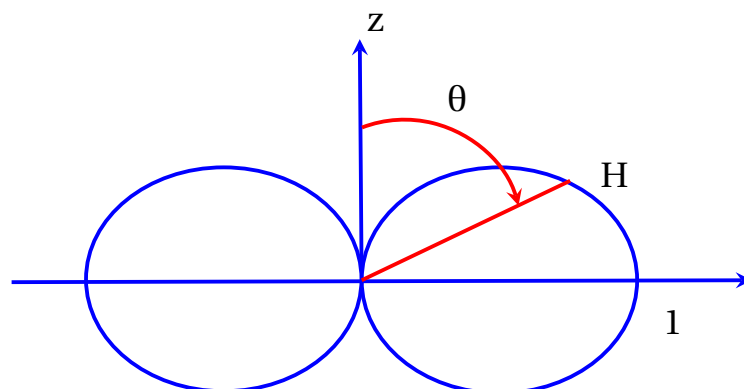
$$\mathcal{P}_{\text{moy}} = \oiint_{(S)} \langle \vec{\pi} \rangle \cdot d\vec{S} = \frac{p_0^2 \omega^4}{12\pi \epsilon_0 c^3}$$

#### ► Diagramme de rayonnement

• **Définition** : Le diagramme de rayonnement est la représentation en fonction de  $\theta$  de

$$\rho(\theta) = \frac{|\langle \vec{\pi} \rangle|}{|\langle \vec{\pi} \rangle_{\max}|}$$

- $\rho(\theta) = \sin^2 \theta$
- pour  $\theta = \frac{\pi}{2}$ ;  $\rho(\theta) = 1 = \text{OH}$
- pour  $\theta = 0$ ;  $\rho(\theta) = 0$   
 $\Rightarrow O \equiv H$



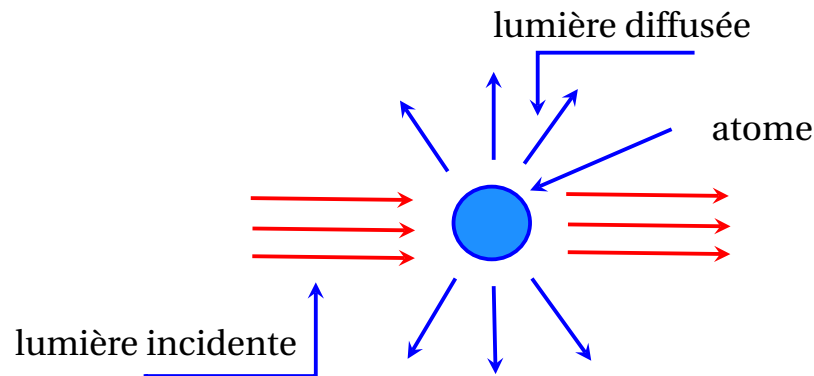
• **Conclusion** : la puissance rayonnée est nulle dans la direction d'oscillation du dipôle et elle est maximale dans la direction perpendiculaire à la direction d'oscillation du dipôle

## 2 Diffusion du rayonnement électromagnétique

### 2.1 Phénomène de diffusion

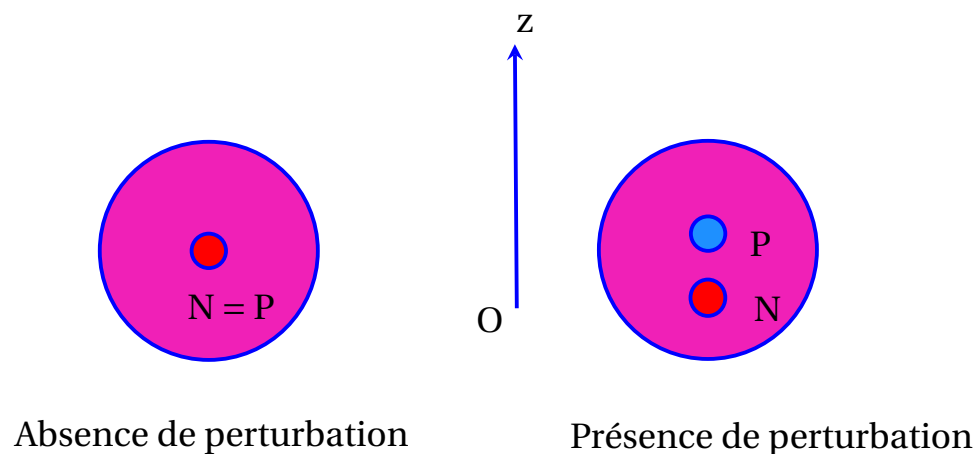
L'onde électromagnétique peut interagir avec un atome ou molécule, qui absorbe une partie de son énergie

• **Définition** : On appelle diffusion de la lumière la réémission de cette dernière, par des dipôles atomiques induits, dans toutes les directions de l'espace. Cette lumière est dite diffusée.



## 2.2 Modèle de l'électron élastiquement lié

- En absence de perturbation, le barycentre P des positions successives prises par l'électron, coïncide avec le noyau supposé fixe N :  $O \equiv P$
- En présence d'une perturbation de l'électron suivant Oz :  $N \neq P$



- la force exercée par le noyau sur l'électron de masse  $m$  est modélisée par une force de rappel

$$\vec{f} = -m\omega_0^2 z \vec{e}_z$$

avec  $\omega_0$  : pulsation propre du mouvement

- il apparaît un moment dipolaire  $\vec{p}(t)$

$$\vec{p}(t) = -ez(t) \vec{e}_z$$

- l'atome rayonne et perd de l'énergie mécanique que l'on peut modéliser par une force de type frottement visqueux

$$\vec{F} = -m \frac{\dot{z}}{\tau} \vec{e}_z$$

avec  $\tau$  : temps de relaxation

## 2.3 Interaction d'une onde électromagnétique monochromatique avec l'électron atomique

- le champ électrique de l'onde :  $\vec{E} = E_0 \exp i(\omega t) \vec{e}_z$
- la relation fondamentale de la dynamique

$$\ddot{z} + \frac{\dot{z}}{\tau} + \omega_0^2 z = -\frac{eE_0}{m} \exp i(\omega t)$$

(on néglige la force magnétique devant la force électrique)

- la solution de l'équation en régime forcé s'écrit

$$\underline{z}(t) = z_0 \exp i(\omega t + \varphi)$$

$$\underline{z}(t) = -\frac{eE_0}{m} \frac{1}{\omega_0^2 - \omega^2 + i\frac{\omega}{\tau}} \exp i(\omega t)$$

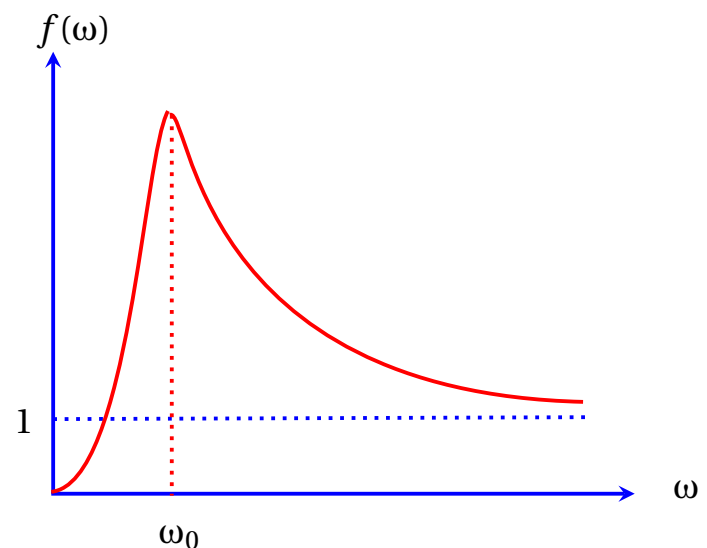
$$z_0 = |\underline{z}(t)| = \frac{eE_0}{m} \frac{1}{\left[ (\omega^2 - \omega_0^2)^2 + \frac{\omega^2}{\tau^2} \right]^{1/2}}$$

- la puissance moyenne rayonnée est :  $\mathcal{P}_{moy} = \frac{p_0^2 \omega^4}{12\pi\epsilon_0 c^3} = \frac{e^2 z_0^2 \omega^4}{12\pi\epsilon_0 c^3}$

$$\mathcal{P}_{moy} = \frac{e^4 E_0^2}{12\pi\epsilon_0 m^2 c^3} \frac{\omega^4}{(\omega^2 - \omega_0^2)^2 + \frac{\omega^2}{\tau^2}}$$

$$\mathcal{P}_{moy} = \frac{e^4 E_0^2}{12\pi\epsilon_0 m^2 c^3} f(\omega) \text{ avec } f(\omega) = \frac{\omega^4}{(\omega^2 - \omega_0^2)^2 + \frac{\omega^2}{\tau^2}}$$

- si  $\omega = 0$ ;  $f(0) = 0$
- $\omega \rightarrow \infty$ ;  $f(\omega) \rightarrow 1$
- $f(\omega)$  est maximale pour  $\omega \approx \omega_0$  car  $\omega_0 \gg \frac{1}{\tau}$



►  $\omega \gg \omega_0$  : diffusion de Thomson

$$\mathcal{P}_{moy} = \frac{e^4 E_0^2}{12\pi\epsilon_0 m^2 c^3} = cte$$

exemple : diffusion des rayons X par la matière

►  $\omega \approx \omega_0$  : diffusion résonante

$$\omega^2 - \omega_0^2 \approx 2\omega_0(\omega - \omega_0)$$



$$\mathcal{P}_{moy} = \frac{e^4 E_0^2}{12\pi\epsilon_0 m^2 c^3} \frac{\tau^2 \omega_0^2}{1 + 4\tau^2(\omega - \omega_0)^2}$$

- il s'agit d'un profil Lorentzien

►  $\omega \ll \omega_0$  : diffusion de Rayleigh

$$\mathcal{P}_{moy} = \frac{e^4 E_0^2}{12\pi\epsilon_0 m^2 c^3} \left( \frac{\omega}{\omega_0} \right)^4$$

#### • Application

La fréquence propre des molécules de l'atmosphère terrestre est de l'ordre de  $\nu_0 \approx 10^{17}$  Hz. Ces molécules étant excitées par le soleil dont la fréquence du visible est de l'ordre de  $\nu \approx 10^{15}$  Hz  $\ll \nu_0$ , provoquent la diffusion de Rayleigh.

- $\mathcal{P}_{moy} = cte \frac{1}{\lambda^4}$
- $\lambda_{blue} \approx 0,4 \mu m$  et  $\lambda_{rouge} \approx 0,75 \mu m$   
donc le blue est beaucoup plus diffusé que le rouge
- en plein jour et par temps clair, le ciel apparaît blue
- au coucher du soleil, celui-ci apparaît rouge